

**РАСШИРЕНИЕ ГАЗОВОЙ ПОЛОСТИ  
В ПЕРЕМЕННО УПЛОТНЯЮЩЕЙ ДИЛАТИРУЮЩЕЙ СРЕДЕ**

A. A. Зверев, B. C. Фетисов

(Москва)

Вопросам механического действия камуфлетного взрыва в дилатирующих средах посвящено значительное количество работ [1—4]. Отличительной особенностью этих работ является учет дилатансии, приводящий к необратимому изменению плотности за фронтом ударной волны. Дилатансионное разрыхление среды, полученное в [2—4], приводит к монотонной зависимости остаточной плотности от радиуса. Оказывается, что плотность среды после взрыва монотонно возрастает от стенок полости к периферии. В расчетах [1—4] уплотнение среды на ударном фронте предполагалось постоянным и не зависящим от интенсивности ударной волны. Однако известно, что ударное уплотнение пористой среды зависит от интенсивности ударной волны [5]. В [5] приведены расчеты расширения полости в среде с переменным уплотнением на фронте для случая, когда дилатансия за ударным фронтом отсутствует. В этом случае остаточная плотность монотонно убывает с расстоянием от стенок полости. В данной работе рассматривается расширение полости в среде, которая переменно уплотняется на фронте ударной волны. Затем на фронте происходит хрупкое разрушение среды и последующее ее пластическое течение сопровождается дилатансией. Кроме того, в работе учитывается выход газов из полости в образующиеся в результате дилатансию за фронтом волны поры. Установлено, что это ведет к уменьшению механического действия подземного взрыва, т. е. к уменьшению максимального радиуса полости и размера фронта разрушений. Показано, что в переменно уплотняющейся дилатирующей среде остаточный профиль плотности имеет максимум.

Источником движения является шаровая полость начального радиуса  $a_n$ , заполненная расширяющимся газом с показателем адиабаты  $\gamma$  и начальным давлением  $p_0$ . В момент времени  $t=0$  от полости начинает распространяться сферическая волна разрушения. Начальная пористость среды равна  $m_0$ . Предполагается, что за фронтом волны выполнено условие пластичности Прандтля

$$\sigma_r - \sigma_\phi = k + m_1(\sigma_r + 2\sigma_\phi),$$

где  $\sigma_r$  и  $\sigma_\phi$  — компоненты тензора напряжений;  $k$  и  $m_1$  — коэффициенты сцепления и трения соответственно. По предположению на фронте ударной волны происходит хрупкое разрушение среды, поэтому в дальнейшем область за фронтом, охваченную пластическим течением, будем называть зоной разрушения.

Движение среды между полостью и фронтом волны описывается уравнениями сохранения импульса, массы и уравнением дилатанси [1]:

$$(1) \quad \frac{\partial u}{\partial t} + u \frac{\partial u}{\partial r} = \frac{1}{\rho} \frac{\partial \sigma_r}{\partial r} + \frac{2}{\rho} (\sigma_r - \sigma_\phi)/r;$$

$$(2) \quad \frac{\partial \rho}{\partial t} + u \frac{\partial \rho}{\partial r} + \rho \left( \frac{\partial u}{\partial r} + 2 \frac{u}{r} \right) = 0;$$

$$(3) \quad \frac{\partial u}{\partial r} + 2 \frac{u}{r} = \Lambda(\rho, \sigma_r) \left| \frac{\partial u}{\partial r} - \frac{u}{r} \right|,$$

где  $\rho$  — плотность среды;  $u$  — массовая скорость;  $\Lambda$  — скорость дилатанси. На фронте разрушения выполнены условия сохранения массы и импульса:

$$u(R) = \varepsilon(R) \dot{R}, \quad \sigma_r(R) = -\rho_0 \varepsilon(R) \dot{R}^2 - \sigma^*,$$

где  $\sigma^*$  — величина напряжения, с которого начинается фаза необратимого разрушения;  $\dot{R}$  — скорость фронта ударной волны;  $\varepsilon(R)$  — уплотнение на фронте ударной волны, равное

$$(4) \quad \varepsilon(R) = 1 - \rho_0/\rho(R) = \varepsilon_0(a_n/R)^\lambda, \quad \lambda > 0.$$

Выражение (4) использовалось в работе [5]. В лагранжевых переменных

уравнения (1)–(3) имеют вид

$$(5) \quad \rho_0 r_0^2 r^{\alpha-2} \frac{\partial u}{\partial t} = \frac{\partial}{\partial r_0} \left[ r^\alpha \left( \sigma_r(r) + \frac{k}{3m_1} \right) \right];$$

$$(6) \quad \frac{\partial r}{\partial r_0} = \frac{r_0^2}{r^2} \frac{\rho_0}{\rho};$$

$$(7) \quad \Lambda \frac{\partial}{\partial t} \ln(\rho r^3) + \frac{\partial}{\partial t} \ln \rho = 0,$$

где  $\alpha = 6m_1/(2m_1 + 1)$ ;  $p(r_0, t) = -\sigma_r(r_0, t)$ . Переидем в системе уравнений (5)–(7) к безразмерным величинам. Переход осуществляется по следующим формулам:  $x = a/a_n$ ,  $R' = R/a_n$ ,  $\tau = t\sqrt{p_0/\rho_0}/a_n$ ,  $p' = p/p_0$ ,  $\rho' = \rho/\rho_0$ ,  $\sigma'_r = \sigma_r/p_0$ ,  $\sigma'_\phi = \sigma_\phi/p_0$ ,  $r' = r/a_n$ ,  $r'_0 = r_0/a_n$ . Как известно [2], за фронтом ударной волны, распространяющейся в среде, пластическое течение которой происходит с дилатансией, плотность за фронтом уменьшается по сравнению с плотностью, достигаемой на ударном фронте. Другими словами, дилатансия приводит к росту пористости, оставшейся после прохождения ударного скачка. Эксперимент [6] показывает, что газы из полости могут проникать в пустоты, образующиеся за фронтом ударной волны уже на динамической стадии взрыва. Как отмечается в [6], проникновение газов из полости в поры может снизить эффективность взрыва за счет уменьшения давления газов в полости. Кроме того, абсорбция газов в носике трещин может приводить к уменьшению эффективной прочности среды по Гриффитсу. Учет конечного давления газов в порах может приводить к уменьшению эффективной прочности среды. Одновременный учет всех этих факторов составляет предмет самостоятельного исследования. В данной работе учитывается только прорыв газов из полости в предположении их мгновенного выхода и заполнения пор.

Будем считать, что газ в полости расширяется по закону  $pV_{\text{эфф}}^\gamma = \text{const}$ , где  $V_{\text{эфф}}$  — объем полости плюс объем пор, образовавшихся в среде после прохождения через нее волны разрушения в результате дилатансии (считается, что газы из полости могут беспрепятственно проникать в эти поры). Таким образом,  $p_0 \left( \frac{4\pi}{3} a_n^3 \right)^\gamma = -\sigma_r(a) \left( \frac{4\pi}{3} a^3 + V_f \right)^\gamma$ , где  $V_f$  — объем пор, заполняемых газом из полости. В обезразмеренном виде  $\sigma'_r(x) = -(x^3 + v_f)^{-\gamma}$ ,  $v_f = V_f / \frac{4\pi}{3} a_n^3$ . Проинтегрировав (2) с учетом сферической симметрии при  $\Lambda = \text{const}$ , получим  $u(r) = c(t)/r^n$ , а из граничных условий находим  $u(r) = a^n a/r^n$  [2],  $n = (2-\Lambda)/(1+\Lambda)$ . Значение  $V_f(t)$  вычисляется следующим образом. Объем пор в сферическом слое радиуса  $r$  и толщины  $dr$  равен  $dV_f = 4\pi r^2 dm(r)$ , где  $m(r)$  — пористость среды на расстоянии  $r$  от центра взрыва, равная  $m(r) = 1 - (1 - m_0)\rho/\rho_0$ . После интегрирования и обезразмеривания имеем

$$v_f = R'^3 - x^3 - 3(1 - m_0) \int_x^{R'} \rho'(r') r'^2 dr'.$$

Выражение для  $\rho'(r'(r'_0, \tau))$  можно найти аналогично работе [3]. Вычисления дают

$$\rho'(r'(r'_0, \tau)) = \frac{1}{1 - \epsilon_0^{r'_0 - \gamma}} \left( \frac{r'_0}{r'} \right)^{2-n}.$$

Для расчета развития во времени полости и волны разрушения проинтегрируем обезразмеренное уравнение (5) в пределах от  $r'_0$  до  $R'(\tau)$ . При этом учтем граничные условия и неадиабатичность газов в полости. В итоге получим камуфлетное уравнение

$$(8) \quad dy/dx + N(x)y = M(x),$$

Номер варианта	$\Lambda$	$\lambda$	Расширение газов	$\varepsilon_0$	Номер варианта	$\Lambda$	$\lambda$	Расширение газов	$\varepsilon_0$
1	0,2	0	H	0,1	6	0,2	0,5	H	0,1
2	0,2	0,5	H	0,1	7	0,07	1	H	0,1
3	0,2	0	A	0,1	8	0	0	A	0,2
4	0,07	1	H	0,1	9	0,2	0	A	0,2
5	0	0,5	H	0,1					

где  $y = \dot{x}^2$ ;  $\ddot{x} = (1/2)dy/dx$ ;  $y(x=1) = \varepsilon_0$ ;

$$M(x) = 2 \frac{(R'^\alpha - x^\alpha) \frac{1}{3m_1} \frac{k}{P_0} - x^\alpha \sigma'_r(x) - R'^\alpha \sigma^*/p_0}{x^n Y};$$

$$N(x) = \frac{2n}{x} - 2 \frac{x^n [nX - R'^{\alpha-2(n-\lambda)} \varepsilon_0^{-2} \varepsilon(R')]}{Y};$$

$$X = \int_1^{R'} r_0'^2 r'^{\alpha-3-n} (r_0') dr_0'; \quad Y = \int_1^{R'} r_0'^2 r'^{\alpha-2-n} (r_0') dr_0'.$$

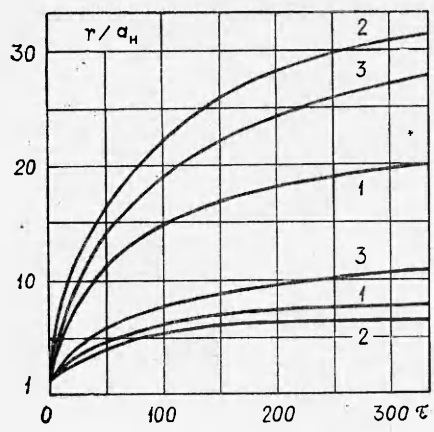
Общее решение уравнения (8) находится методом вариации постоянных:

$$(9) \quad y(x) = \left\{ \varepsilon_0 + \int_1^x \left[ M(x') e^{\int_1^{x'} N(x'') dx''} \right] dx' \right\} e^{-\int_1^x N(x') dx'}$$

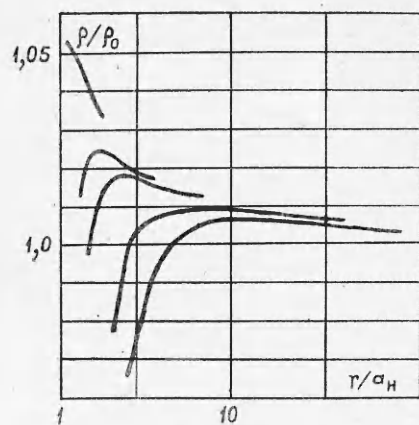
Окончательное решение (9) проводится численно на ЭВМ.

Перейдем к обсуждению результатов численного решения. В таблице даны варианты наборов параметров, использовавшихся в расчетах. Здесь символ  $A$  соответствует адиабатическому расширению взрывных газов, а в случае, обозначенном символом  $H$ , газы могут проникать в поры,  $\varepsilon_0$  — уплотнение на фронте (при  $\lambda = 0$ ) или уплотнение на фронте волны в начальный момент времени (при  $\lambda > 0$ ). При расчете всех вариантов использовались следующие значения постоянных:  $p_0 = 0,7 \cdot 10^8$  кПа,  $a_n = 3$  м,  $\gamma = 1,4$ ,  $m_1 = 0,1$ ,  $|k| = 10^3$  кПа,  $\sigma^* = 10^4$  кПа,  $\rho_0 = 3,5$  г/см<sup>3</sup>,  $m_0 = 0,2$ .

На фиг. 1 изображены графики развития во времени взрывной полости  $x(\tau)$  и зоны разрушения  $R'(\tau)$  в среде с дилатансией. Здесь и далее номер кривой соответствует номеру варианта набора параметров, приведенных в таблице. Отметим, что кривые 1 и 2 для  $x(\tau)$  и  $R'(\tau)$  построены для случаев, учитывающих выход газов из полости на стадии ее расширения. Для кривой 1 сжатие на фронте считается постоянным ( $\lambda = 0$ ), а для кривой 2  $\lambda = 1/2$ , т. е. уплотнение на фронте переменно и равно  $\varepsilon(R') = \varepsilon_0(1/R')^{1/2}$ . Из сравнения кривых 1 и 2 для  $x(\tau)$  и  $R'(\tau)$  видно, что увеличение показателя сжимаемости на фронте  $\lambda$  приводит к заметному уменьшению размера полости и к сильному увеличению радиуса зоны разрушений. Это происходит потому, что в случае убывающего уплотнения на фронте уменьшается доля энергии, висящей при захлопывании пор. Размеры полости уменьшаются вследствие того, что в нашей модели полость расширяется за счет схлопывания пор. При уменьшающемся с расстоянием от центра уплотнения схлопывается меньшая часть объема пор, что и приводит к уменьшению размера полости. Кривые 1 и 3 для  $x(\tau)$  и  $R'(\tau)$  соответствуют дилатирующему равномерно уплотняющейся среде. Для случая, соответствующего кривым 1, газы из полости проникают в образовавшиеся на стадии расширения полости поры, а кривым 3 — газы в полости расширяются адиабатически. Выход газов из полости приводит к уменьшению размеров полости  $x(\tau)$  и зоны разрушения  $R'(\tau)$ , т. е. к уменьшению механического действия взрыва. Эти результаты подтверждаются экспериментально [6].



Фиг. 1

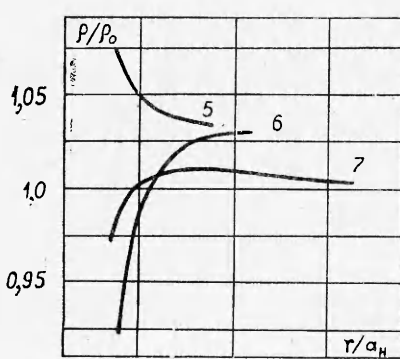


Фиг. 2

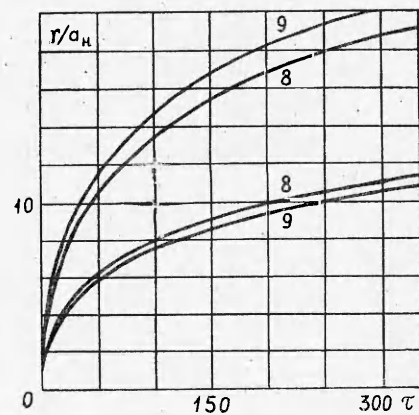
Кривые на фиг. 2 показывают изменение во времени пространственного профиля плотности среды, охваченной движением для различных моментов времени. Кривые на фиг. 2 соответствуют варианту 4. Как видно из результатов фиг. 2, в момент времени  $\tau_1 = 0,4$  плотность  $\rho'(r')$  убывает с расстоянием от стенок полости для всех  $r'$ . На кривой, соответствующей моменту времени  $\tau_2 (\tau_2 = 2,2)$ , уже существует максимум, на третьей кривой ( $\tau_3 = 4,6$ ) плотность у стенок полости благодаря дилатационному разрыхлению ниже фоновой. Со временем максимум плотности, не исчезая, слаживается и удаляется от стенок полости.

Механизм образования этого максимума показан на фиг. 3. Все кривые приведены на момент времени  $\tau = 18,1$ , газы в полости неадиабатичны. В отсутствие дилатансии благодаря убывающему с расстоянием от центра взрыва уплотнению на фронте ударной волны плотность среды убывает (кривая 5). В случае сильной дилатансии ( $\Lambda = 0,2$ ) и слабопеременного уплотнения на фронте (кривая 6) среда разуплотняется, плотность у стенок полости меньше фоновой и возрастает с расстоянием от центра. В результате взаимодействия конкурирующих эффектов дилатационного разрыхления и убывающего с расстоянием от центра взрыва уплотнения на фронте волны профиль плотности в зависимости от радиуса становится немонотонным, в результате чего появляется максимум (кривая 7). Со временем качественная картина, представленная на фиг. 3, сохраняется.

На фиг. 4 показано влияние дилатансии на размеры полости и зоны разрушений. Обе кривые соответствуют адиабатическому расширению газов в полости и постоянному уплотнению на фронте ударной волны.



Фиг. 3



Фиг. 4

Кривая 8 соответствует бездилатационному течению за фронтом ( $\Lambda = 0$ ), а 9 — дилатационному течению ( $\Lambda = 0,2$ ). Видно, что учет дилатансии приводит к увеличению размеров зоны разрушения и к уменьшению радиуса взрывной полости. Этот результат соответствует опубликованному в работе [3].

В заключение заметим, что немонотонный ход  $\rho(r)$  может быть получен при учете зависимости скорости дилатансии  $\Lambda(m_0, \sigma_r(R))$  от пористости и давления, на что обратил наше внимание В. К. Сироткин.

Авторы благодарят В. К. Сироткина и А. М. Масленникова за обсуждение.

Поступила 3 VI 1981

#### ЛИТЕРАТУРА

- Николаевский В. Н. О связи объемных и сдвиговых деформаций и об ударных волнах в мягких грунтах. — ДАН СССР, 1967, т. 177, № 3.
- Дунин С. З., Сироткин В. К. Расширение газовой полости в хрупкой породе с учетом дилатационных свойств грунта. — ПМТФ, 1977, № 4.
- Артышев С. Г., Дунин С. З. Ударные волны в дилатирующих и недилатирующих средах. — ПМТФ, 1978, № 4.
- Николаевский В. Н. и др. Эффекты дилатансии при подземном взрыве. — ДАН СССР, 1980, т. 250, № 1.
- Андрянкин Э. И., Коряков В. П. Ударная волна в переменно уплотняемой пластической среде. — ДАН СССР, 1959, т. 128, № 2.
- Губкин К. Е., Кузнецов В. М., Шацукевич А. Ф. О тепломассообмене при взрыве в твердых телах. — ПМТФ, 1978, № 6.

УДК 532.593

#### ЧИСЛЕННОЕ ИССЛЕДОВАНИЕ ОТКОЛЬНЫХ РАЗРУШЕНИЙ В МЕДИ

Л. К. Романычева, А. И. Рузанов

(Горький)

В последнее время при исследовании разрушения как в статических, так и в динамических задачах широкое распространение получила концепция накопления повреждений, которая берет в основу изменение структуры материала в течение процесса деформирования. При этом следует иметь в виду, что нельзя описать все процессы в телах просто динамикой напряженного состояния и необходим дополнительный учет процессов, происходящих в теле, дополнительная кинетика, учитывающая обратное влияние разрушения на поля напряжений и деформаций [1]. В условиях разрушения при динамических нагрузках напряженное состояние существенно меняется обычно на расстояниях, значительно превышающих размер несплошностей, образующихся в начальной стадии процесса разрушения, и такую среду можно рассматривать в среднем как сплошную, т. е. не следить за развитием отдельных трещин, а учитывать их суммарное действие. Оно заключается в возникновении большого числа трещин или пор и в уменьшении за счет этого прочности.

В [2] на базе исследований [3, 4] развита модель разрушения, учитывающая образование в материале пор и их дальнейший рост под действием растягивающих напряжений. Ниже эта модель используется для численного анализа откольных разрушений в меди и результаты вычислений сопоставляются с экспериментальными данными [5, 6].

1. Вычислительная модель, развитая в [2], построена из двух составных частей: 1) уравнений, описывающих законы зарождения несплошностей и их развития (принята конкретная структура микродефектов — поры сферической формы); 2) уравнений, определяющих упругопластическое поведение материала с учетом релаксации напряжений и изменения механических свойств (снижение прочности) вследствие появления и роста большого количества полостей (пор).

Уравнение для изменения во времени относительного объема пор может быть приведено к виду [2—4]

$$(1.1) \quad V_n = V_{n0} \exp \frac{3(p_s - p_{so}) \Delta t}{4\gamma_i} + 8\pi \dot{N} R_n^3 \Delta t,$$